

NORGES TEKNISK-  
NATURVITENSKAPELIGE UNIVERSITET  
INSTITUTT FOR TELETEKNIKK

Faglig kontakt under eksamen:  
Navn: Magne H. Johnsen  
Tlf.: 73 59 26 78/930 25 534

## **EKSAMEN I FAG TTT4120 DIGITAL SIGNALBEHANDLING**

Dato: Mandag 10. desember 2012  
Tid: Kl. 09.00 - 13.00

Hjelpemidler: D–Ingen trykte eller håndskrevne hjelpemidler tillatt.  
Bestemt, enkel kalkulator tillatt.

### **INFORMASJON**

- Oppgave 1 omhandler analyse av filtre.
- Oppgave 2 omhandler rasjonale prosessmodeller.
- Oppgave 3 omhandler fast komma realisering.
- Oppgave 4 omhandler flerhastighetssystemer.
- En del formler er oppgitt i appendiks
- Vekting av hver deloppgave er angitt i parentes. Totalt antall poeng er 70.
- Alle svar skal begrunnes!
- Faglig kontakt vil gå rundt to ganger, første gang ca. kl. 10.00 og andre gang ca. 11.45.

## Oppgave 1 (3+3+5+4 = 15 poeng)

1a) Transferfunksjon  $H(z)$  til et stabilt, kausalt LTI-filter er beskrevet ved følgende :

$$H(z) = H_0(z)H_1(z)H_2(z) \quad \text{hvor} \quad (1)$$

$$H_0(z) = 1 + \frac{5}{3}z^{-1}$$

$$H_1(z) = \frac{1}{(1 + \frac{1}{2}z^{-1})}$$

$$H_2(z) = \frac{1}{(1 - \frac{2}{3}z^{-1})}$$

Vis at differenseligningen til filteret er gitt ved:

$$y(n) - \frac{1}{6}y(n-1) - \frac{1}{3}y(n-2) = x(n) + \frac{5}{3}x(n-1), \quad n = -\infty, \infty \quad (2)$$

Svar:

$$\begin{aligned} H(z) = \frac{Y(z)}{X(z)} &= \frac{1 + \frac{5}{3}z^{-1}}{(1 + \frac{1}{2}z^{-1})(1 - \frac{2}{3}z^{-1})} = \frac{1 + \frac{5}{3}z^{-1}}{1 - \frac{1}{6}z^{-1} - \frac{1}{3}z^{-2}} \Rightarrow \\ Y(z) - \frac{1}{6}Y(z)z^{-1} - \frac{1}{3}Y(z)z^{-2} &= X(z) + \frac{5}{3}X(z)z^{-1} \end{aligned}$$

Lign 2 fremkommer direkte ved invers Z-transform.

1b) Gi et *begrunnet* svar på følgende :

- Hva blir konvergensområdet til filteret i oppgave 1a?
- Har filteret lineær fase?
- Har filteret minimum fase?

Svar:

- $\max[|p_1|, |p_2|] = \max[\frac{1}{2}, \frac{2}{3}] = \frac{2}{3} \Rightarrow \text{ROC} : |z| > \frac{2}{3}$
- Filteret har ikke lineær fase da det har poler.
- Minimum fase krever at både poler og nullpunkter ligger innenfor enhetssirkelen. Vi har her et nullpunkt i  $|z| = |-\frac{5}{3}| > 1$ . Altså har filteret ikke minimum fase.

**1c)** Vis at enhetspulsresponsen til filteret er gitt ved :

$$h(n) = -h_1(n) + 2h_2(n) \quad \text{hvor}$$

$$h_1(n) = \begin{cases} (-\frac{1}{2})^n & n \geq 0 \\ 0 & n < 0 \end{cases}$$

$$h_2(n) = \begin{cases} (\frac{2}{3})^n & n \geq 0 \\ 0 & n < 0 \end{cases}$$

Svar :

$$H(z) = \frac{1 + \frac{5}{3}z^{-1}}{(1 + \frac{1}{3}z^{-1})(1 - \frac{2}{3}z^{-1})} = \frac{A}{1 + \frac{1}{2}z^{-1}} + \frac{B}{1 - \frac{2}{3}z^{-1}} \Rightarrow$$

$$H(z) = \frac{A + B - (\frac{2A}{3} - \frac{B}{2})z^{-1}}{(1 + \frac{1}{2}z^{-1})(1 - \frac{2}{3}z^{-1})}$$

$$A + B = 1$$

$$(\frac{2A}{3} - \frac{B}{2})z^{-1} = -\frac{5}{3}z^{-1} \Rightarrow 4A - 3B = -10$$

$$4(1 - B) - 3B = 4 - 7B = -10 \Rightarrow B = 14/7 = 2 \quad \text{og} \quad A = 1 - B = -1$$

Dermed har en :

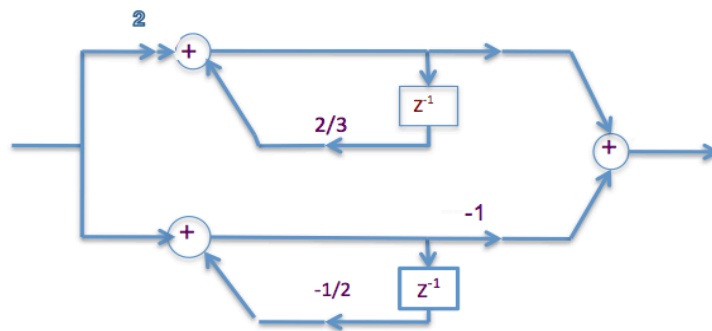
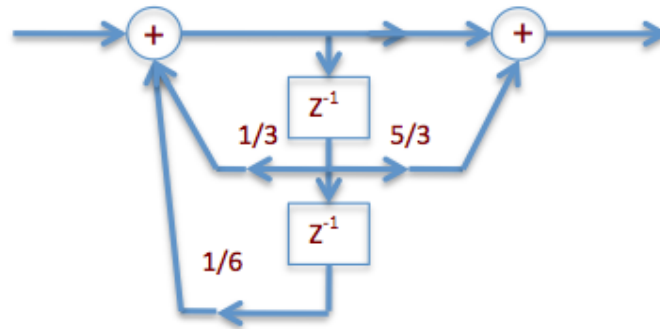
$$H(z) = -H_1(z) + 2H_2(z) = -\frac{1}{1 + \frac{1}{2}z^{-1}} + 2\frac{1}{1 - \frac{2}{3}z^{-1}} \Rightarrow$$

$$h(n) = -h_1(n) + 2h_2(n) = \begin{cases} -(-\frac{1}{2})^n + 2(\frac{2}{3})^n & n \geq 0 \\ 0 & n < 0 \end{cases}$$

**1d)** Skisser følgende strukturer for filteret  $H(z)$  :

- Direkte form 2 (DF2)
- Parallellstruktur hvor grenforsterkningen  $G_2 = 2$  er plassert *før* tilbakekoblingen.

Svar :



Parallel

## Oppgave 2 (4+8+3+4 = 16 poeng)

2a) Krysskorrelasjonssekvensen til to sekvenser  $y(n)$  og  $x(n)$  med endelig energi er gitt ved

$$\begin{aligned} r_{yx}(m) &= \sum_{n=-\infty}^{\infty} y(n+m)x(n) \quad m \geq 0 \\ r_{yx}(m) &= r_{xy}(-m) \quad m < 0 \end{aligned}$$

Vis at krysskorrelasjonssekvensen til  $h_1(n)$  og  $h_2(n)$  i deloppgave 1c er gitt ved

$$r_{h_1 h_2}(m) = \begin{cases} \frac{3}{4}(-\frac{1}{2})^m & m \geq 0 \\ \frac{3}{4}(\frac{2}{3})^m & m < 0 \end{cases} \quad (3)$$

Svar :

$$\begin{aligned} r_{h_1 h_2}(m) &= \sum_{n=-\infty}^{\infty} h_1(n+m)h_2(n) \quad m \geq 0 \\ r_{h_1 h_2}(m) &= \sum_{n=0}^{\infty} (-\frac{1}{2})^{n+m} (\frac{2}{3})^n \quad m \geq 0 \\ r_{h_1 h_2}(m) &= (-\frac{1}{2})^m \sum_{n=0}^{\infty} (-\frac{1}{3})^n \quad m \geq 0 \\ r_{h_1 h_2}(m) &= (-\frac{1}{2})^m \frac{1}{1 + \frac{1}{3}} = \frac{3}{4}(-\frac{1}{2})^m \end{aligned}$$

Tilsvarende utregning for  $r_{h_2 h_1}(m)$  gir :

$$\begin{aligned} r_{h_2 h_1}(m) &= \sum_{n=0}^{\infty} (\frac{2}{3})^{n+m} (-\frac{1}{2})^n \quad m \geq 0 \\ x &= y \\ r_{h_2 h_1}(m) &= (\frac{2}{3})^m \frac{1}{1 + \frac{1}{3}} = \frac{3}{4}(\frac{2}{3})^m \end{aligned}$$

Da  $r_{h_1 h_2}(m) = r_{h_2 h_1}(-m)$  for  $m < 0$  er ligning 3 bevist!

**2b)** Vis at enhetspulsene  $h_1(n)$ ,  $h_2(n)$  og  $h(n)$  gitt i oppgave 1 har følgende autokorrelasjonssekvenser for  $m \geq 0$  :

$$r_{h_1 h_1}(m) = \frac{4}{3} \left(-\frac{1}{2}\right)^m$$

$$r_{h_2 h_2}(m) = \frac{9}{5} \left(\frac{2}{3}\right)^m$$

$$r_{hh}(m) = -\frac{1}{6} \left(-\frac{1}{2}\right)^m + \frac{57}{10} \left(\frac{2}{3}\right)^m$$

I tillegg gjelder at alle tre autokorrelasjonssekvenser er symmetriske om  $m = 0$ .

Svar :

De to autokorrelasjonssekvensene for hhv  $h_1(n)$  og  $h_2(n)$  blir

$$\begin{aligned} r_{h_1 h_1}(m) &= \sum_{n=0}^{\infty} \left(-\frac{1}{2}\right)^{n+m} \left(-\frac{1}{2}\right)^n & m \geq 0 \\ r_{h_1 h_1}(m) &= \left(-\frac{1}{2}\right)^m \sum_{n=0}^{\infty} \left(\frac{1}{4}\right)^n & m \geq 0 \\ r_{h_1 h_1}(m) &= \left(-\frac{1}{2}\right)^m \frac{1}{1 - \frac{1}{4}} = \frac{4}{3} \left(-\frac{1}{2}\right)^m & m \geq 0 \\ r_{h_2 h_2}(m) &= \sum_{n=0}^{\infty} \left(\frac{2}{3}\right)^{n+m} \left(\frac{2}{3}\right)^n & m \geq 0 \\ r_{h_2 h_2}(m) &= \left(\frac{2}{3}\right)^m \sum_{n=0}^{\infty} \left(\frac{4}{9}\right)^n & m \geq 0 \\ r_{h_2 h_2}(m) &= \left(\frac{2}{3}\right)^m \frac{1}{1 - \frac{4}{9}} = \frac{9}{5} \left(\frac{2}{3}\right)^m & m \geq 0 \end{aligned}$$

(4)

Setter en  $h(n) = -h_1(n) + 2h_2(n)$  inn i

$$\begin{aligned} r_{hh}(m) &= \sum_{n=-\infty}^{\infty} h(n+m)h(n) & \text{får en} \\ r_{hh}(m) &= r_{h_1 h_1}(m) - 2r_{h_1 h_2}(m) - 2r_{h_2 h_1}(m) + 4r_{h_2 h_2}(m) \end{aligned}$$

Fra deloppgave 2a henter vi uttrykkene for krysskorrelasjonene og samler to og to ledd med samme eksponent

$$\begin{aligned}\left(\frac{4}{3} - 2\frac{3}{4}\right)\left(-\frac{1}{2}\right)^m &= \frac{(8-9)}{6}\left(-\frac{1}{2}\right)^m = -\frac{1}{6}\left(-\frac{1}{2}\right)^m \\ \left(4\frac{9}{5} - 2\frac{3}{4}\right)\left(\frac{2}{3}\right)^m &= \frac{(144-30)}{20}\left(\frac{2}{3}\right)^m = \frac{57}{10}\left(\frac{2}{3}\right)^m\end{aligned}$$

Som tilsvarer de to leddene i oppgitt uttrykk for  $r_{hh}(m)$ ..

Figur 1 viser en valgt kaskadestruktur for  $H(z)$



Figur 1: Valgt kaskadestruktur

**2c)** Hvit støy  $w(n)$  med effekt  $\sigma_w^2 = 1$  påtrykkes kaskadestrukturen i figur 1.

Hvilke parametriske prosess-typer tilsvarer henholdsvis utgangssignalet og de interne signalene i strukturen? Begrunn svaret!

Svar :

Vi har to interne signaler i kaskadestrukturen, nemlig utgangene av de to første summasjonsjonsnodene. Forsinkelser endrer ikke de statistiske egenskapene til signaler. Den første summasjonsnoden har transferfunksjonen  $H_1(z)$ . Filteret er av første ordens allpoltype (en pol), noe som tilsier at den har en AR[1]-prosess. Den andre summasjonsnoden har transferfunksjonen  $H_0(z)H_1(z)$ , noe som tilsier en ARMA[1,1]-prosess. Utgangen av filteret er selvsagt gitt av hele transferfunksjonen  $H(z)$ . Fra oppg 1a ser en at filteret har et nullpunkt og to poler, ergo er utgangssignalet en ARMA[1,2]-prosess.

**2d)** Hvit støy  $w(n)$  med effekt  $\sigma_w^2 = 1$  påtrykkes filteret  $H(z)$ . Finn, ved hjelp av lineær prediksjon (dvs. Yule-Walker eller Normal ligningene) filterkoeffisienten  $a_1$  for den beste AR[1]-modellen til filterets utgangssignal  $y(n)$ .

Vis at prediksjonsfeileffekten  $\sigma_f^2$  alltid oppfyller :  $\sigma_f^2 \leq \sigma_y^2$   
 hvor  $\sigma_y^2 = \gamma_{yy}(0)$  er signaleffekten til inngangssignalet.

Svar :

For hhv tidslag  $m = 1$  og prediksjonsfeileffekten ( $m = 0$ ) får en :

$$\begin{aligned} a_1 \gamma_{yy}(0) &= -\gamma_{yy}(1) & m = 1 \\ \sigma_f^2 &= \gamma_{yy}(0) + a_1 \gamma_{yy}(1) & m = 0 \end{aligned}$$

Vi har at  $\gamma_{yy}(m) = \sigma_w^2 r_{hh}(m)$ , dvs med  $\sigma_w^2 = 1$  får vi

$$\begin{aligned} \gamma_{yy}(0) &= -\frac{1}{6}\left(-\frac{1}{2}\right)^0 + \frac{57}{10}\left(\frac{2}{3}\right)^0 = -\frac{1}{6} + \frac{57}{10} = \frac{57 * 6 - 10}{60} = \frac{332}{60} \\ \gamma_{yy}(1) &= -\frac{1}{6}\left(-\frac{1}{2}\right)^1 + \frac{57}{10}\left(\frac{2}{3}\right)^1 = \frac{1}{12} + \frac{19}{5} = \frac{19 * 12 + 5}{60} = \frac{233}{60} \end{aligned}$$

Dvs  $a_1 = -\gamma_{yy}(1)/\gamma_{yy}(0) = -233/332 \approx -0.7$

Videre kan vi omskrive prediksjonsfeileffekten :  $\sigma_f^2 = \gamma_{yy}(0)(1 + a_1 \gamma_{yy}(1)/\gamma_{yy}(0))$ .  
 Brøken i siste ledd tilsvarer filterkoeffisienten, ergo har vi  $\sigma_f^2 = \gamma_{yy}(0)(1 - a_1^2)$ . For  
 alle stabile filtre (dvs.  $|a_1| < 1$ ) vil  $\sigma_f^2 \leq \gamma_{yy}(0)$ . Forholdet  $\gamma_{yy}(0)/\sigma_f^2 = 1/(1 - a_1^2) \approx$   
 $1/(1 - (0.7)^2) \approx 2$  kalles derfor prediksjonsgevinsten.



### Oppgave 3 (4+4+7+4 = 19 poeng)

Det diskrete filteret i oppgave 1 skal realiseres med fast komma tallrepresentasjon med  $B + 1$  bit og dynamikk  $[-1, 1)$ . Avrunding (kvantisering) foretas etter hver multiplikasjon og avrundingsfeilen,  $e(n)$ , kan regnes som hvit støy med effekt  $\sigma_e^2 = \frac{2^{-2B}}{12}$ . Til sammen bidrar alle støykildene på grunn av avrunding til et støysignal  $z(n)$  på utgangen med totaleffekt  $\sigma_z^2$ .

- 3a)** Finn resulterende støyeffekt,  $\sigma_z^2$ , på utgangen av kaskadestrukturen i figur 1 uttrykt ved  $\sigma_e^2$ .

Svar :

I kaskadestrukturen har vi tre multiplikasjoner/avrundinger og dermed tre hvitstøykilder. Kildene ved hhv  $5/3$  og  $2/3$  kan begge flyttes til foran siste summasjonsnode. Den tilsvarende enhetspulsresponsen er derfor  $h_2(n)$  for begge kildene. Kilden ved  $-1/2$  kan flyttes til foran første summasjonsnode og ser derfor enhetspulsresponsen  $h(n)$ .

$$\begin{aligned}\text{Vi får da : } \sigma_z^2 &= (r_{hh}(0) + 2 * r_{h_2h_2}(0))\sigma_e^2 = \\ (332/60 + 2 * 9/5)\sigma_e^2 &= ((332 + 216)/60)\sigma_e^2 = (548/60)\sigma_e^2 \approx 9\sigma_e^2\end{aligned}$$

- 3b)** Finn resulterende støyeffekt,  $\sigma_z^2$ , på utgangen av parallell-strukturen i oppgave 1d. Merk at minustegnet foran  $h_1(n)$  i ligning 2 blir gjort aritmetisk (negasjon) og ikke ved multiplikasjon!

Svar :

Vi skal altså droppe en kilde ved forsterkningen på  $G_1 = -1$ . Kildene ved hhv  $2$  og  $2/3$  tilhører gren nr. 2. Begge kan flyttes til foran den tilhørende summasjonsnoden og ser derfor  $h_2(n)$ . Støykilden tilsvarende  $-1/2$  kan tilsvarende flyttes foran sin summasjonsnode og ser dermed  $h_1(n)$

$$\text{Vi får da : } \sigma_z^2 = (2 * r_{h_2h_2}(0) + r_{h_1h_1}(0))\sigma_e^2 = (2 * 9/5 + 4/3)\sigma_e^2 = ((54 + 20)/15)\sigma_e^2 = (74/15)\sigma_e^2 \approx 5\sigma_e^2$$

Altså lønner det seg å bruke parallellkoblingen hvis en kun ser på avrundingsstøyen.

Inngangssignalet  $x(n)$  til filteret har full utstyring, dvs.  $x_{max} = \max_n |x(n)| = 1$ .

- 3c)** Vis at en for å unngå overstyring i kaskadestrukturen brukt i deloppgave 3a må skalere på inngangen med  $3/16$  (nedskalering med  $16/3$ )

Vis videre at man for den andre parallellstrukturen (deloppgave 3b) må skalere på inngangen med  $S = 1/6$  (dvs. nedskalering med 6).

Svar :

Kaskadestrukturen har to interne summasjonsnoder og en ved utgangen. Strukturen i deloppgave 3a er lik figur 1. For den første summasjonsnoden er enhetspulsresponsen fra inngang  $h_1(n)$ . For den andre summasjonsnoden har en  $h_3(n) = h_0(n) * h_1(n) = (-1/2)^n u(n) + 5/3(-1/2)^n u(n-1)$ . Den tredje summasjonsnoden tilsvarer utgangen og ser derfor selvsagt  $h(n)$ . Merk forøvrig at  $h(n) \geq 0$  alle  $n$ .

Dette gir :

$$\begin{aligned} \sum_n |h(n)| &= \sum_{n=0}^{\infty} (2(\frac{2}{3})^n - (-\frac{1}{2})^n) = 2 \frac{1}{1 - \frac{2}{3}} - \frac{1}{1 + \frac{1}{2}} = 2 * 3 - 2/3 = 16/3 \\ \sum_n |h_1(n)| &= \sum_{n=0}^{\infty} (\frac{1}{2})^n = \frac{1}{1 - \frac{1}{2}} = 2 \\ h_3(n) &= (-\frac{1}{2})^n u(n) + \frac{5}{3}(-\frac{1}{2})^{n-1} u(n-1) \Rightarrow \\ h_3(0) &= 1 \\ h_3(n) &= (-\frac{1}{2})^n + \frac{5}{3}(-\frac{1}{2})^{n-1} \quad n > 0 \Rightarrow \\ h_3(n) &= (-\frac{1}{2})^n - \frac{10}{3}(-\frac{1}{2})^n = -\frac{7}{3}(-\frac{1}{2})^n \quad n > 0 \Rightarrow \\ \sum_n |h_3(n)| &= 1 + \frac{7}{3} \sum_{n=1}^{\infty} (\frac{1}{2})^n = 1 - \frac{7}{3} + \frac{7}{3} \sum_{n=0}^{\infty} (\frac{1}{2})^n \Rightarrow \\ \sum_n |h_3(n)| &= -\frac{4}{3} + \frac{7}{3}(\frac{1}{1 - \frac{1}{2}}) = -\frac{4}{3} + 2\frac{7}{3} = \frac{10}{3} \end{aligned}$$

En har at  $16/3 > 10/3 > 2$  ergo må en velge skalering med  $3/16$ .

I parallellstrukturen har en også to interne noder (en i hver gren) og en utgangsnode. Utgangsnoden og nedre gren  $h_1(n)$  er regnet ut i forbindelse med kaskadestrukturen. Da gjenstår øvre gren med enhetspulsrespons fra inngang lik  $2h_2(n)$ .

$$\sum_n |2h_2(n)| = \sum_{n=0}^{\infty} (2(\frac{2}{3})^n) = \frac{2}{1 - \frac{2}{3}} = 3 * 2 = 6. \quad (5)$$

En har at  $6 > 7/3 > 2$  ergo må en velge skalering med  $1/6$ .

**3d)** Hvilken av de to *nedskalerte* strukturene har best signal-støy forhold på utgangen ( $SNR = \sigma_y^2/\sigma_z^2$ ) ?

Svar :

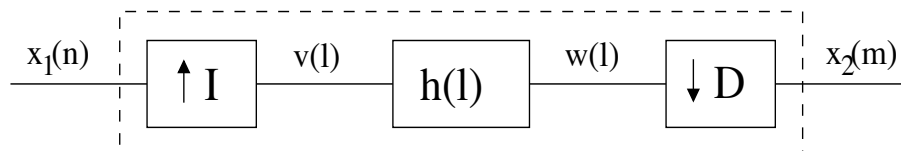
Vi kaller signaleffekten på utgangen uten nedskalering for  $\sigma_y^2$ . Etter nedskalering får en da signaleffekter  $S^2\sigma_y^2$  på utgangen, mens støy effekten på utgang er uendret (da avrunding kommer etter skalering). Ergo er SNR for de nedskalerte strukturene gitt ved  $S^2\sigma_y^2/\sigma_z^2$ . Da  $\sigma_y^2$  er lik for de to strukturene kan en bruke forholdet  $S^2/\sigma_z^2$  som indikator. Ergo får en for de to strukturene :

$$\begin{aligned} SNR_{kask} &\approx \left(\frac{3}{16}\right)^2/(9\sigma_e^2) = \frac{9}{256} \frac{1}{\sigma_e^2} \\ SNR_{par} &\approx \left(\frac{1}{6}\right)^2/(5\sigma_e^2) \approx \frac{1}{180} \frac{1}{\sigma_e^2} \end{aligned}$$

En ser altså at nedskalering gjør at parallellstrukturen ikke lenger er den beste mhp støyeffekt.

#### Oppgave 4 (5+4+4+5 = 18 poeng)

Figur 2 viser et system for endring av punktprøvehastighet fra  $F_1$  til  $F_2$  hvor  $I$  og  $D$  er heltall.



Figur 2: System for punktprøveendring

- 4a) Forklar de tre blokkene samt angi båndbredde og samplingsrate til de interne signalene  $v(l)$  og  $w(l)$

Svar :

Den første blokken setter inn  $I - 1$  nullverdier mellom hver punktprøve. Dette vil øke samplingsraten til  $F_v = IF_1$  samt repetere spekteret  $I - 1$  ganger fra  $F_1/2$  til  $F_v/2 = IF_1/2$ . Det (ideelle) LP-filteret  $h(l)$  opererer på hastigheten  $F_v$  og har knekkfrekvens  $F_g = F_v/\max[D, I]$ . Dette tilsvarer halve samplingsfrekvensen for den laveste av  $F_1$  og  $F_2$ . Den siste blokken bruker kun hver  $D$ 'te punktprøve, noe som tilsvarer å redusere samplingsraten til  $F_2 = F_v/D = F_1 * (I/D)$ .

- 4b) Utled et uttrykk i tidsplanet for utgangssignalet  $x_2(m)$  uttrykt ved inngangssignalet  $x_1(n)$ , filteret  $h(l)$  samt  $I$  og  $D$ .

Svar :

Sammenheng mellom  $w(l)$  og  $v(l)$  er gitt ved ren foldning, dvs.  $w(l) = \sum_k v(k)h(l-k)$ . Nå er  $x_2(m) = w(mD) = \sum_k v(k)h(mD-k)$ . Men kun hver  $I$ 'te verdi av  $v(k)$  er ulik null dvs.  $v(kI) = x_1(k)$  for  $k = -\infty, \dots, \infty$ . Da ender en opp med  $x_2(m) = \sum_k x_1(k)h(mD - kI)$

**4c)** Diskuter funksjonsmåten til systemet når  $I > D$  og motsatt.

Svar :

Når  $I > D$  går en opp i samplingsfrekvens. Da mister en ingen informasjon men frekvensområdet over  $F_1/2$ , dvs.  $[F_1/2, F_2/2]$  er uten innhold. Filterets knekkfrekvens er gitt ved  $F_g = F_1/2$ .

Når  $I < D$  går en netto ned i samplingsfrekvens. Filteret må da fjerne innholdet i frekvensområdet over  $F_2/2$ , dvs.  $[F_2/2, F_1/2]$  for å unngå aliasing. Filterets knekkfrekvens må da være  $f_g = F_2/2$ .

**4d)** Gitt et analogt signal  $x(t) = s(t) + \sin(2\pi F_0 t)$  hvor  $s(t)$  har båndbredde  $\pm B = 5000\text{Hz}$  og  $F_0 = 4000\text{Hz}$ . Signalet punktprøves med samplingsrate  $F_1 = 10000\text{Hz}$ , dvs.  $x_1(n) = x_a(nT_1)$  hvor  $T_1 = 1/F_1$ .

En har videre gitt et notch-filter med nullpunkt i  $f_n = 0.25$ .

Hvordan kan en bruke systemet i figur 2 sammen med notch-filteret til å fjerne den harmoniske komponenten ( $F_0$ ) i  $x_1(n)$ ?

Svar :

I den opprinnelige samplingsraten er den harmoniske komponenten plassert på  $f_{01} = F_0/F_1 = 4000/10000 = 0.4$ . Dette er en annen normalisert frekvens enn nullpunktet  $f_n = 0.25$  til notch-filteret. En må derfor endre samplingsraten slik at  $f_{02} = F_0/F_2 = f_n$ , dvs.  $F_2 = F_0/f_n = 4000/0.25 = 16000$ . Dette tilsvarer en punktprøve endring på  $16000/10000 = 8/5$ . Dette realiserer en med først å bruke systemet i figur 2 med  $I = 8$  og  $D = 5$  og deretter bruke notchfilteret.

## Some basic equations and formulas.

### A. Sequences :

$$\sum_{n=0}^{\infty} \alpha^n = \frac{1}{1-\alpha} \iff |\alpha| < 1$$

$$\sum_{n=0}^{N-1} \alpha^n = \frac{1-\alpha^N}{1-\alpha}$$

### B. Linear convolution :

$$y(n) = h(n) * x(n) = \sum_k h(k)x(n-k) = \sum_k x(k)h(n-k)$$

$$Y(z) = H(z)X(z) \Rightarrow Y(f) = H(f)X(f) \Rightarrow$$

$$Y(f_k) = H(f_k)X(f_k) \quad f_k = k/N \quad \text{for } k = 0, \dots, N-1 \quad \text{where we write } Y(k) = Y(f_k)$$

### C. Transforms :

$$H(z) = \sum_n h(n)z^{-n} \Rightarrow H(f) = \sum_n h(n) e^{-j2\pi n f}$$

$$\text{DFT} : H(k) = \sum_{n=0}^{L-1} h(n) e^{-j2\pi n k/N} \quad k = 0, \dots, N-1$$

$$\text{IDFT} : h(n) = \frac{1}{N} \sum_{k=0}^{N-1} H(k) e^{j2\pi n k/N} \quad n = 0, \dots, L-1$$

**D. The sampling (Nyquist) theorem :**

Given an analog signal  $x_a(t)$  with bandwidth  $\pm B$  which is sampled by  $F_s = 1/T_s$  :

$$x(n) = x(nT_s) = x_a(t)|_{t=nT_s} \quad n = -\infty, \dots, \infty$$

$$X(f) = X(F/F_s) = F_s \sum_k X_a[(f - k)F_s]$$

$$x_a(t) \text{ can be recovered from } x(n) \Leftrightarrow F_s \geq 2B \quad (6)$$

**E. Autocorrelation, energy spectrum and Parsevals theorem :**

Given a sequence  $h(n)$  with finite energy  $E_h$  :

$$\text{Autocorrelation : } r_{hh}(m) = \sum_n h(n)h(n+m) \quad m = -\infty, \dots, \infty$$

$$\text{Energy spectrum : } S_{hh}(z) = H(z)H(z^{-1}) \Rightarrow S_{hh}(f) = |H(f)|^2$$

$$\text{Parsevals theorem: } E_h = r_{hh}(0) = \sum_n h^2(n) = \int_0^{2\pi} |H(f)|^2 df$$

**F. Multirate formulaes :**

Decimation where  $T_{sy} = DT_{sx}$  :

$$v(mT_{sy}) = \sum_k h[(mD - k)T_{sx}] x(kT_{sx}) \quad m = -\infty, \dots, \infty$$

Upsampling where  $T_{sx} = UT_{sy}$  :

$$y(lT_{sy}) = \sum_n h[(l - nU)T_{sy}] x(nT_{sx}) \quad l = -\infty, \dots, \infty$$

Interpolation where  $T_{sy} = DT_{sv} = \frac{D}{U}T_{sx}$  :

$$y(lT_{sy}) = \sum_m h[(lD - mU)T_{sv}] x(mT_{sx}) \quad l = -\infty, \dots, \infty$$

**G. Autocorrelation, power spectrum and Wiener-Khintchin theorem :**

Given a stationary, ergodic sequence  $x(n)$  with infinite energy :

Autocorrelation :  $\gamma_{xx}(m) = E[x(n)x(n+m)] \quad m = -\infty, \dots, \infty$

Power spectrum:  $\Gamma_{xx}(z) = Z[\gamma_{xx}(m)] \Rightarrow$

Wiener-Khintchin :  $\Gamma_{xx}(f) = DTFT[\gamma_{xx}(m)] = \sum_m \gamma_{xx}(m) e^{-j2\pi mf}$

**H. The Yule-Walker and Normal equations where  $a_0 = 1$  :**

Yule-Walker equations :  $\sum_{k=0}^P a_k \gamma_{xx}(m-k) = \sigma_f^2 \delta(m) \quad m = 0, \dots, P$

Normal equations:  $\sum_{k=1}^P a_k \gamma_{xx}(m-k) = -\gamma_{xx}(m) \quad m = 1, \dots, P$